

К 93

ИНСТИТУТ ЯДЕРНОЙ ФИЗИКИ СИБИРСКОГО ОТДЕЛЕНИЯ АН СССР.

препринт 42

Р.Х.Куртмуллаев, В.И.Пильский

**Применение методов зондовой и  
микроволновой диагностики для  
исследования сильных ударных  
волн в разреженной плазме**



НОВОСИБИРСК 1966

+

v

При исследовании сверхбыстрых процессов в плазме, например, ударных волн, существенную трудность представляют методы регистрации основных параметров процесса, к числу которых относятся магнитное поле и плотность плазмы. Это связано с тем, что пространственный масштаб неоднородностей имеет порядок нескольких миллиметров, а характерное время их изменения — несколько наносекунд [1].

Для локальных измерений магнитных возмущений использовался миниатюрный магнитный зонд, представляющий собой одиночную петлю диаметром  $1 \pm 3$  мм, переходящую в согласованный фидер малого сечения ( $1 \pm 1,5$  мм). Благодаря открытому отверстию петли магнитное поле измерялось непосредственно в плазме, протекающей через сечение зонда (что наиболее существенно для сверхбыстрых процессов). Стеклоянное покрытие изолировало зонд от электрического потенциала плазмы, а его весьма малая индуктивность ( $\sim 5 \cdot 10^{-9}$  гн) практически устраняла электростатические наводки флюктуационных полей плазмы в интервале частот до сотен Мгц без применения экрана, хотя уровень электростатических полей достигал нескольких кв/см. Ёмкость половины петли зонда относительно плазмы могла составлять 1 пф. Совместно с индуктивностью петли зонда эта ёмкость образует на высоких частотах делитель, ослабляющий напряжение наводки. Например, на частоте 100 мггц это ослабление достигает  $\frac{1}{500}$ . Такого ослабления достаточно, чтобы сигнал помехи не превысил  $0,1 \pm 0,01$  величины полезного сигнала. Значение индуктивности дано для петель в вакууме, наличие плазмы, естественно, может несколько изменить эту величину.

Применение зонда с открытой петлей кажется предпочтительней обычной конструкции, когда петля помещается внутри диэлектрической трубки. В последнем случае зонд измеряет магнитное поле вне плазмы. Моменту регистрации, таким образом, предшествуют диффузионные процессы на границе плазма-трубка, существенно зависящие от параметров плазмы, характера пограничного слоя, времени нарастания скачков магнитного поля. Возникающие искажения амплитуды и фронтов магнитных сигналов должны возрастать в области максимально быстрых флюктуаций магнитного поля (т.е. в области минимальных ширин фронта ударной волны).

Осциллограммы, одновременно снятые с зондов рассмотренных двух конструкций, действительно показывают искажения, возникающие при помещении зонда в трубку (рис. 1 а, б).

Для одновременного измерения концентрации плазмы  $n$  и эффективной проводимости  $\sigma$  была разработана схема, которая помимо фазы на той же осциллограмме регистрирует также и амплитуду зондирующего сигнала (рис.2). В схеме использовались три плеча: одно рабочее - для зондирования плазмы (П) и два - опорных, отвечающих часть мощности генератора (Г) для смещения опорного и зондирующего сигналов. Деление мощности осуществлялось с помощью направленных ответвителей (О) и согласованного тройника (Т), смещение сигналов с помощью двойного тройника (Т) и кристаллического детектора (Д). В одном из опорных плеч был установлен калиброванный фазовращатель ( $\Phi$ ), посредством которого вводился постоянный сдвиг фазы  $\varphi_0 = \frac{\pi}{2}$  относительного второго опорного плеча. В результате напряжения, выделяющегося на смесителях, имеют вид

$$\begin{aligned} u_1 &= u_0 \rho(t) \sin \varphi(t) \\ u_2 &= u_0 \rho(t) \cos \varphi(t) \end{aligned} \quad (1)$$

где

$u_0 = u_1(0) = u_2(0)$  - амплитуда напряжений в отсутствие плазмы (балансируется с помощью аттенуаторов (А)).

$\rho(t) = \frac{\sqrt{u_1^2 + u_2^2}}{u_0} = \exp\left(-\frac{4\pi\sigma_{\text{вч}} l}{c\sqrt{\epsilon}}\right)$  - относительное затухание зондирующей волны в плазме

$\varphi(t) = 2\pi \frac{l}{\lambda} (1 - \sqrt{\epsilon})$  - относительный фазовый сдвиг в плазме.

$l$  - эффективная длина плазменного слоя.

$\epsilon = 1 - \frac{4\pi n e^2}{m(2\pi f)^2}$  - диэлектрическая проницаемость плазмы

$\sigma_{\text{вч}}$  - в.ч. проводимость плазмы.

$m, e$  - соответственно масса и заряд электронов.

$\lambda, f$  - длина и частота зондирующей волны.

2.

Полученной информации (I) достаточно для того, чтобы непосредственно, без применения растровой системы и дополнительных преобразований, регистрировать фазовый сдвиг волны  $\varphi(t)$  (с учетом его знака) и затухание  $\rho(t)$  [3,4]. Действительно, напряжения  $u_1(t)$  и  $u_2(t)$ , поданные, соответственно, на вертикальные и горизонтальные пластины электронно лучевой трубки, смещают луч в точку, радиус - вектор которой представляет собой комплексную амплитуду прошедшего через плазму сигнала в полярной системе координат (радиус - амплитуда  $\sim \rho u_0$ , угол - фаза  $\varphi$ ). При изменении параметров плазмы ( $n, \sigma$ ) на экране описывается непрерывная кривая  $\rho(t) \exp(i\varphi(t))$ ; временной масштаб задается с помощью темновых меток, накладываемых на траекторию луча (рис.3). Необходимое усиление напряжений  $u_1, u_2$  осуществляется в широкополосных видеусилителях ( $У_1, У_2$ ), имеющих идентичные частотные характеристики ( $\Delta F = 10$  Мгц, с неравномерностью  $\lesssim 5\%$ ).

Для яркостной модуляции луча ("время") используются калиброванные импульсы длительностью  $\sim 0,02$  мксек и частотой следования 10; 1; 0,1 Мгц, формируемые генератором меток (ГМ). Область регистрации во времени выбирается с помощью модулирующего импульса ( $T = 0,5 + 400$  мксек) поступающего с генератора подсвета (ГП), который в свою очередь запускается от синхронизирующего устройства.

Скорость регистрации фазы  $\frac{d\varphi}{dt}$  в описанной схеме ограничена только полосой пропускания  $\Delta F$  усилителей и составляет

$$\left(\frac{d\varphi}{dt}\right)_{\text{max}} \sim 2\pi \Delta F = 2\pi \cdot 10^7 \text{ рад/сек.}$$

При использовании индикации с растровым типом развертки [5] существуют дополнительные ограничения, связанные с применением усилителей промежуточной частоты с полосой  $2\Delta F$  и быстродействующих формирующих каскадов.

Указанное значение  $\left(\frac{d\varphi}{dt}\right)_{\text{max}}$  позволяет регистрировать процессы со скоростью изменения концентрации плазмы

$$\frac{dn}{dt} \sim n_{\text{кр}} \frac{d\varphi}{dt} \sim 10^{14} \text{ см}^{-3} \text{ мксек}^{-1}$$

$$n_{\text{кр}} = \frac{m(2\pi f)^2}{4\pi e^2} \quad \text{при } \lambda = 0,8 \text{ см}$$

$$l \sim 2 + \frac{1}{3} \text{ см}$$

3.

Предельный диапазон измеряемых фаз в принципе ограничен лишь качеством записи процесса на фотопленке (в наших экспериментах легко регистрировались фазовые сдвиги  $\sim 20\pi$  с точностью отсчета  $\sim 5^\circ$ ).

В случае немонотонного характера процесса использовалось дополнительно горизонтальное смещение луча калиброванным пилообразным напряжением. Полученное "трехмерное" изображение полностью описывало процесс, включая интервалы времени, когда  $\frac{d\varphi}{dt} = 0$  (рис. 3б)

Представляемые осциллограммы получены при возбуждении ударных волн. Устройство разрешает процесс, длительность которого порядка  $10^{-7}$  сек.

Для регистрации еще более быстрых процессов применялся другой способ индикации с использованием промышленных широкополосных осциллографов. В этом случае сигналы со смесителей интерферометра регистрировались порознь на отдельных лучах осциллографов с линейной временной разверткой. В отличие от широко распространенного способа индикации одноплечной мостовой схемой, осциллограммы, полученные описанным выше способом, содержат полную информацию об изменении во времени значений фазы (с учетом её знака) и амплитуды зондирующего СВЧ сигнала, сказанное относится и к режимам работы, когда максимальное смещение фазы меньше  $\pi/2$ . По этим осциллограммам строится голограф комплексного значения  $f_{exp}(\varphi)$  величины сигнала, прошедшего через плазму или временная зависимость фазы  $\varphi(t)$  и амплитуды  $\rho(t)$  в прямоугольной системе координат.

Усилители вертикального отклонения использовавшихся осциллографов имеют полосу рабочих частот до  $60 + 150$  мгц (на уровне  $\pm 3$ дб). Таким образом мы имели возможность регистрировать изменения фазы сигнала со скоростью, не превышающей величины:

$$\left(\frac{d\varphi}{dt}\right)_{max} \leq 2\pi \Delta F \approx 3\pi \cdot 10^8 \text{ рад/сек}$$

что соответствует скорости изменения плотности  $\frac{dn}{dt} \sim 10^{15} \text{ см}^{-3} \text{ мксек}^{-1}$

Последняя система индикации связана с весьма жесткими требованиями на синхронизацию движения лучей обоих осциллографов по времени.

При максимальной скорости измерения фазы  $\frac{d\varphi}{dt} = 2\pi \cdot 10^8$  рад/сек требуется учет сдвигки сигналов между собой (например, в подводных кабелях) с точностью до  $\pm 1,5$  нсек. Для точной синхронизации начала отсчета времени на осциллограмме использовался синхронизирующий прямоугольный импульс длительностью 30 нсек с крутым фронтом. Импульс подавался за 100 нсек до начала процесса и складывался с сигналом на входе усилителей. Таким образом уменьшалось влияние нелинейности развертки осциллографа, нестабильности её запуска и скорости, полностью исключалось влияние запаздывания самого сигнала внутри осциллографа.

Электрические длины подводных кабелей предварительно измерялись с точностью до нескольких десятков сантиметров и учитывались при обработке осциллограмм. Точность измерения фазы в основном ограничивалась точностью синхронизации лучей осциллографов и неравномерностью их частотной характеристики.

Описанные схемы могут быть использованы и для непрерывной регистрации положения границы плазмы (слой с плотностью выше критической  $N_{кр}$ ). В этом случае оба рупора располагаются по одну сторону от исследуемого объема так, что приемный рупор ориентирован на отраженный луч и отсутствует связь между рупорами. Предпочтительней для этой цели использование ферритового циркулятора.

При определенных условиях эксперимента, когда плазменный объем достаточно хорошо удовлетворяет приближению плоского слоя (т.е. эффекты рассеяния, дифракция и др. пренебрежимы), полученные при помощи описанного устройства величины  $\varphi(t)$ ,  $\rho(t)$  достаточны для расчета ряда параметров плазмы: средних значений плотности  $N$ , проводимости  $\sigma$ , эффективной частоты столкновений электронов  $\nu_{эф}$ , оценок пространственного распределения плотности, а также для установления геометрии плазмы и закона движения её границ.

Зондирование плазмы проводилось как поперек плазменного столба (с помощью внешних антенн), так и внутри объема плазмы (с помощью миниатюрных диэлектрических и рупорных антенн).

На рис. 4 а, б представлены результаты обработки осциллограмм, полученных при "внутреннем" зондировании плазмы вдоль магнитного поля.

Ширина фронта плотности по порядку величины соответствует ширине фронта ударной волны.

Авторы признательны Ю.Б.Нестерихину за полезные обсуждения и К.Н.Меклеру и Ю.М.Молявину за помощь в работе.

Л и т е р а т у р а

1. Р.Х.Куртмуллаев, Ю.Е.Нестерихин, В.И.Пильский, Р.З.Сагдеев. Доклад с № 2I/2I8 Международной конференции по физике плазмы, Калем (Англия), 1965 г.
2. M. Camac et al Nucl Fusion p2, 423 (1962)
3. ED Ginzton Microwave measurements New York, Toronto London 1957
4. FJ Fitz Osborne, Canad J Phys, 40, N11 1620 (1962)
5. Р.Х.Куртмуллаев, Ю.Е.Нестерихин, В.И.Пильский, А.Г.Пономаренко ТВТ, № 6, 837 (1964).

Рис. 5. Интерферграммы фронта плотности ударной волны (сетка 0,1 мм)

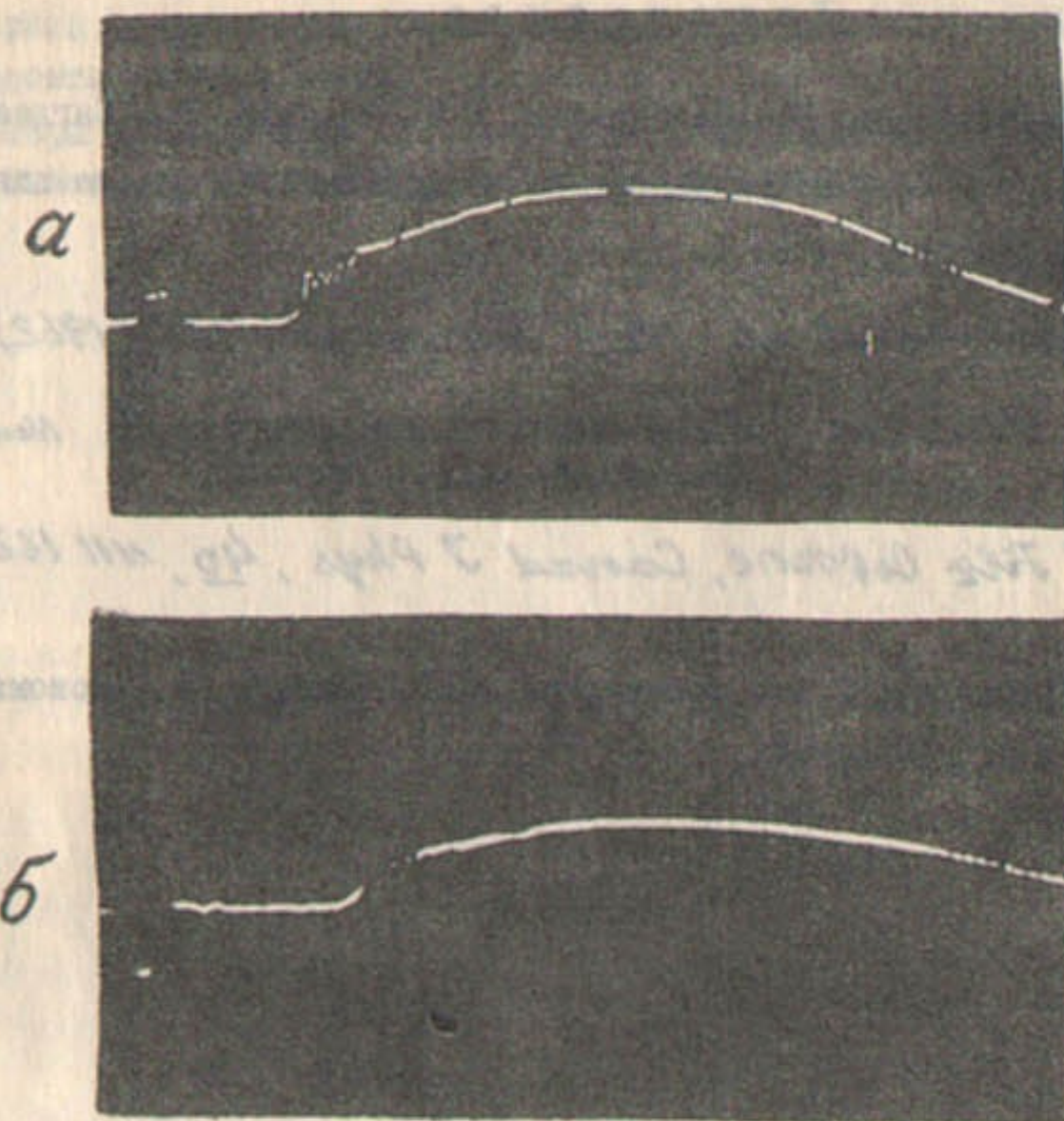


Рис.1. Осциллограммы ударной волны с минимальной шириной фронта, полученные с магнитных зондов:  
 а - зонд с открытой петлей  
 б - зонд заключен в трубку

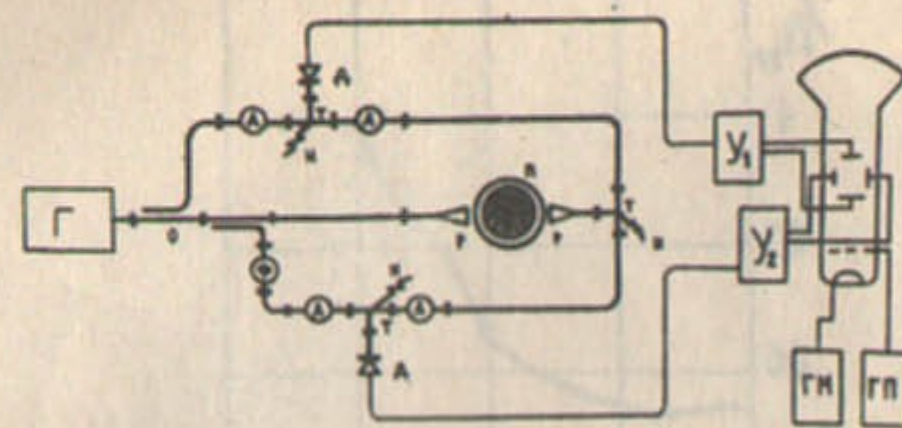


Рис.2. Микроволновая схема непрерывной регистрации фазы и амплитуды зондирующего сигнала.

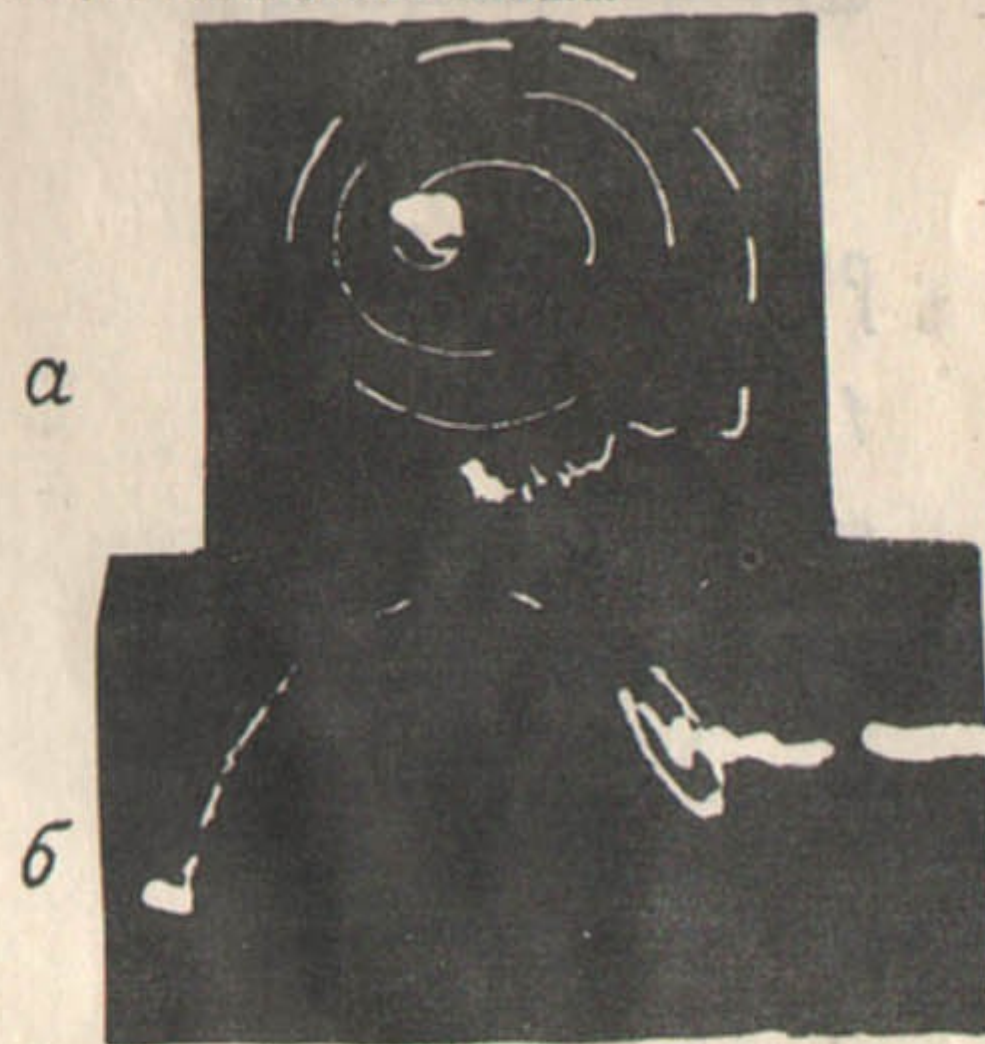


Рис.3. Интерферограммы профиля плотности ударной волны (метки 0,1 мксек)  
 а - при поперечном зондировании  
 б - при продольном зондировании с применением горизонтального смещения луча

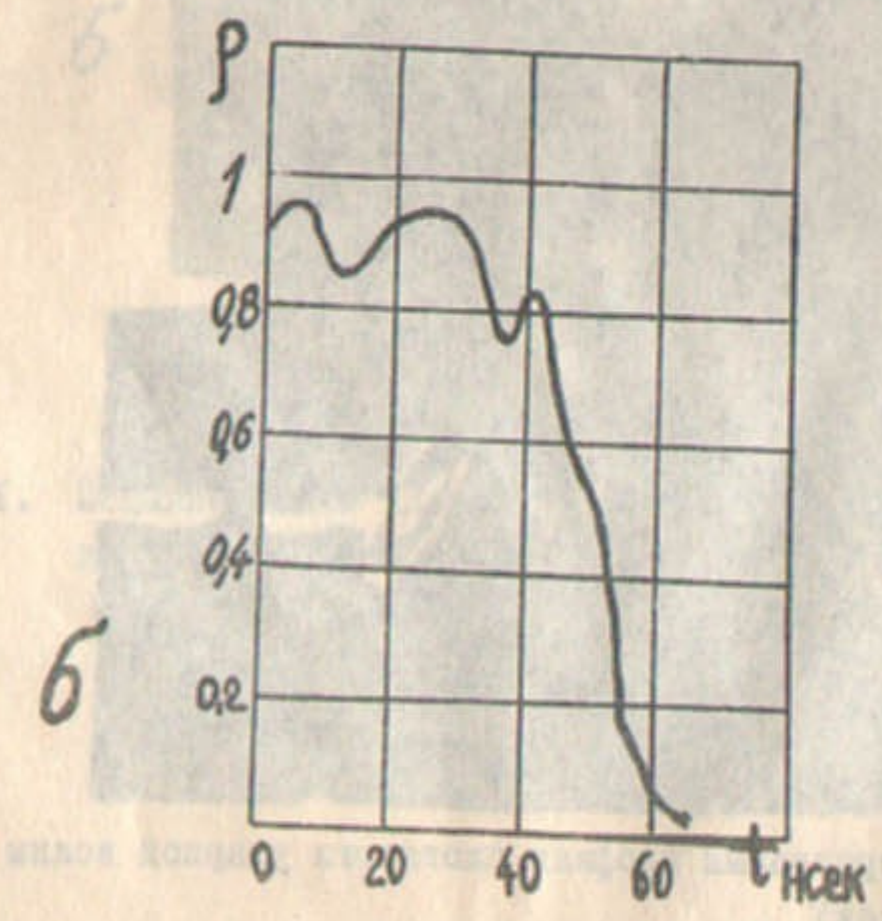
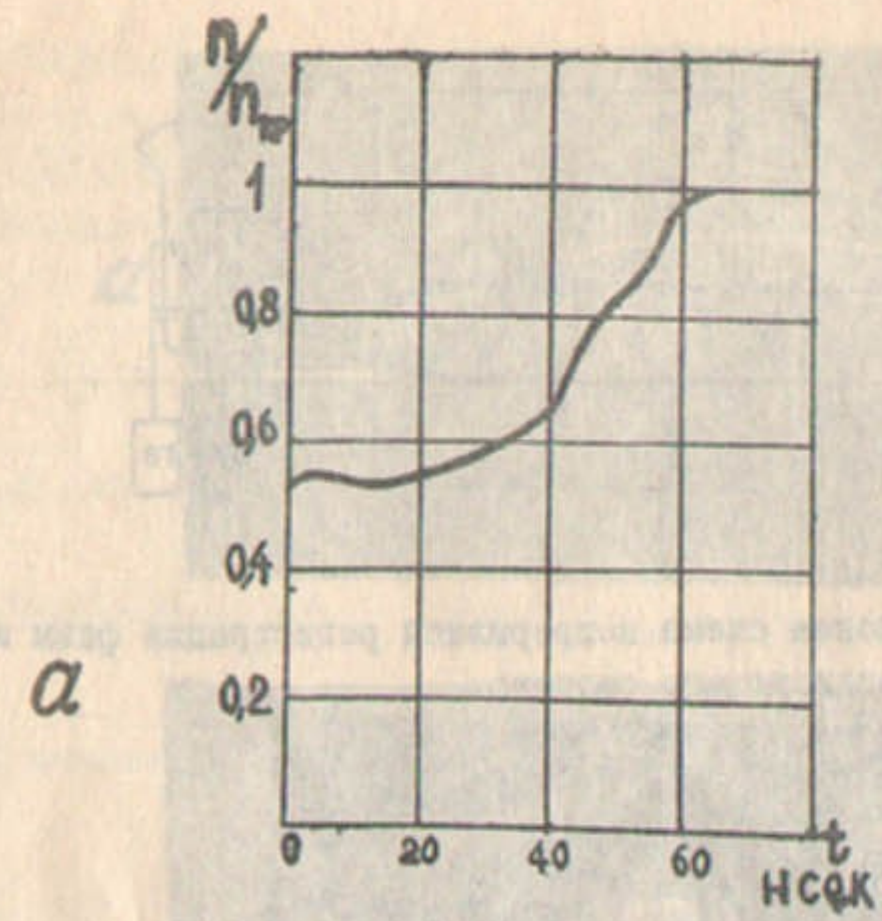


Рис.4. Плотность плазмы (а) и затухания СВЧ сигнала (б) во фронте ударной волны.